



Статья

# ДОЛГОСРОЧНАЯ ПЛАЗМОННАЯ СТАБИЛЬНОСТЬ НАНОЧАСТИЦ МЕДИ Производится методом газофазной агрегации с последующим УФ-озоновая обработка

Франческо Замбони, Арунэ Макаревичи 'уте и Владимир Н. Попок \*



Департамент материалов и производства, Ольборгский университет, 9220 Ольборг, Дания; frza@mp.aau.dk (ФЗ); arunemakareviciute@gmail.com (АМ)

\* Переписка: vp@mp.aau.dk.

Аннотация: Наночастицы металлов (НЧ) в чеканке хорошо известны благодаря явлению локализованного поверхностного плазмонного резонанса (LSPR), которое широко используется для улучшенного зондирования и обнаружения. Стабильность LSPR во времени является важным вопросом для практического применения матриц наночастиц. Некоторые металлы, в том числе медь, химически активны в условиях окружающей атмосферы, что приводит к деградации плазмонной функциональности. В этой работе сообщается о формировании матриц Cu NP с использованием газофазной агрегации магнетронного распыления, выбора размера и мягкой посадки на подложку. Этот метод позволяет получить монокристаллические НЧ высокой чистоты, тем самым улучшая химическую инертность по отношению к окружающим газам, например, кислороду. Кроме того, показано, что простой подход обработки УФ-озоном формирует оксидную оболочку, защищающую металлическое ядро от реакций с веществами из окружающей среды и стабилизирующую плазмонные свойства на период более 150 дней. Предлагаемая методология обещает повысить конкурентоспособность наноматриц Cu с наноматрицами Au и Ag в плазмонном зондировании и обнаружении.

Ключевые слова: газоагрегационное образование наночастиц; наночастицы меди; окисление меди; локализованный поверхностный плазмонный резонанс



Цитирование: Замбони, Ф.;

Макаревичюте, А.; Попок В.Н.

Долговременная плазмонная

стабильность наночастиц меди, полученных методом газофазной агрегации с

последующей УФ-озоновой обработкой

Прил. Нано 2022, 3, 102–111. https://doi.org/

10.3390/applnano3020007 \_

Академический редактор: Анджело Мария

Поступила: 17 марта 2022 г.

Принято: 24 апреля 2022 г.

Опубликовано: 3 мая 2022 г

Примечание издателя: MDPI сохраняет нейтралитет

в отношении заявлений о юрисдикции в

опубликованных картах и институциональной принадлежнации.



4.0/)

Копирайт: © 2022 авторов.
Лицензиат MDPI, Базель, Швейцария.
Эта статья находится в открытом доступе.
распространяется на условиях и
условия Creative Commons
Лицензия с указанием авторства (СС ВУ)
( https://creativecommons.org/licenses/by/

## 1. Введение

Явление локализованного поверхностного плазмонного резонанса (ЛППР), известное для металлических наночастиц (НЧ), широко применяется в оптоэлектронике, фотовольтаике и особенно в сенсорике [1–3]. Наиболее часто используются наноструктуры золота и серебра, обеспечивающие сильный резонансный отклик в видимом спектральном диапазоне [4,5]. Хотя золотые структуры очень химически стабильны и обладают хорошей способностью к поверхностной функционализации, серебряные структуры имеют некоторые ограничения. Например, их нельзя использовать для зондирования некоторых биообъектов из-за бактерицидного действия. Кроме того, временная стабильность плазмонных свойств короче по сравнению с золотом из-за возможных реакций с компонентами окружающей атмосферы, например, с серой даже в следовых количествах [6,7]. Еще одним недостатком обоих металлов является их относител

По сравнению с золотом и серебром медь может быть хорошим кандидатом на наноразмерные платформы, поскольку ее наноструктуры могут обеспечивать интенсивные плазмонные полосы в видимом спектре, и это менее дорогой материал [8,9]. Однако НЧ Си склонны к окислению в окружающей атмосфере с образованием преимущественно Cu2O (оксида Cu(I)) при комнатной температуре; CuO (оксид Cu(II)) обычно образуется в особых условиях, например, при повышенных температурах и высоком давлении [10,11]. Недавние исследования показали, что может образовываться двойной оболочечный слой, состоящий из обоих оксидов [12]. Было обнаружено, что кристаллические характеристики являются важным фактором , влияющим на процесс окисления; поликристаллические частицы/пленки или частицы с высоким уровнем структурных дефектов и/или примесей менее устойчивы к хими Следовательно, методы, позволяющие получать частицы высокой чистоты и идеальной кристалличности, будут лучшими кандидатами на создание наноструктур со стабильными функциональными свойствами. Формирование таких чистых и совершенных НЧ также облегчило бы изучение динамики окисления.

Прил. Нано 2022. 3

Одним из таких подходов, дающим ряд преимуществ, является газофазная агрегация наночастиц/нанокластеров в вакууме [15–17]. В частности, кластерные источники позволяют очень хорошо контролировать состав, поскольку используются сверхчистые мишени, а частицы формируются в вакууме. Условия агрегации способствуют образованию монокристаллических НЧ. Еще одним преимуществом является возможность настройки среднего размера NP путем настройки параметров агрегации. Добавление систем массовой фильтрации дает возможность еще более точного выбора массы/размера. Настраивая поток кластерного луча и время осаждения, можно легко контролировать покрытие/плотность поверхности НЧ, что облегчает формирование наноразмерных матриц с необходимыми параметрами.

103

Для НЧ серебра, полученных методом газоагрегационного магнетронного распыления, показана долговременная стабильность функциональных (плазмонных) свойств [18,19]. В этих экспериментах было установлено, что стабильность LSPR составляет не менее 70–80 дней в условиях окружающей среды для НЧ со средним диаметром 13 и 28 нм. При уменьшении размера частиц до ок. При длине волны 7 нм затухание LSPR наблюдалось в более коротком временном масштабе, что указывает на то, что химические реакции с атмосферными частицами приводят к постепенной деградации металлического ядра, ответственного за плазмонное поведение. Аналогичные тенденции обнаружены для газоагрегированных НЧ меди; для размеров 18–20 нм полоса LSPR сохранялась не менее 3 месяцев, а для размеров 10–13 нм полоса затухала примерно через 3 мес. 70 дней в окружающей атмосфере из-за окисления металлического ядра [20]. Распространенной процедурой защиты металлических поверхностей является нанесение покрытий [21]. Одним из простых и эффективных методов является УФ-обработка озоном, которая, как было обнаружено, обеспечивает формирование тонких слоев оксида Cu(I) поверх пленок Cu [22,23]. Недавно нами были протестированы озонирование НЧ меди, показавшие быстрое образование оксидной оболочки, защищающей металлическое ядро от дальнейшего постепенного окисления НЧ, хранящихся в условиях окружающей среды [20].

В настоящей работе мы продолжаем изучать плазмонную временную стабильность НЧ меди выбранного размера, полученных методом газофазного агрегационного магнетронного распыления. Мы фокусируемся на исследованиях относительно крупных НЧ (диаметром 19 и 24 нм) и предоставляем данные по эволюции химического состава и плазмонного резонанса за период до 5 месяцев.

### 2. Материалы и методы

Газофазный синтез НЧ меди осуществляли с использованием Magnetron Sputtering Cluster Apparatus, MaSCA. В коммерческом источнике нанокластеров (NC200U от Oxford Applied Research) атомы меди распылялись из чистой (99,99%) мишени аргоновой плазмой, агрегировались в кластеры с помощью газообразного гелия и затем коллимировались в пучок . Луч поступал в электростатический квадрупольный селектор массы (EQMS), позволяющий выбирать размер НЧ путем отклонения в соответствии с соотношением масса/заряд (m/q) в электростатическом поле. Изменение разности электростатических потенциалов между электродами EQMS позволяло регулировать массу/размер НЧ, которые затем в режиме мягкой посадки наносились на подложку (кварцевую или кремниевую, в данной работе, в зависимости от следующего метода характеризации). Более подробную информацию о MaSCA и EQMS можно найти в других источниках [24,2]

В текущих экспериментах частицы фильтровались при двух разных напряжениях (700 и 1300 В). После осаждения размеры НЧ исследовали с помощью атомно-силовой микроскопии (АСМ). Эти измерения проводились в постукивающем режиме с использованием Nanolaboratory Ntegra-Aura (от NT-MDT). Использовались коммерческие кантилеверы Si с радиусом кривизны кончика 10 нм.

Были изготовлены два набора образцов для каждого напряжения фильтрации (определенного размера NP). Для конкретного размера НЧ один комплект всегда хранился в атмосфере окружающей среды при комнатной температуре. Образцы второго набора обрабатывались в лабораторном очистителе УФ-озоном (от Bioforce Nanosciences, Эймс, Айова, США) непосредственно после их извлечения из камеры осаждения. Обработку проводили по стандартной методике (помещение образца в очиститель) в течение 20 мин. Известно , что поглощение УФ-света с длиной волны 184,9 нм молекулами кислорода способствует образованию озона, а свет с длиной волны 253,7 нм приводит к разложению озона с образованием атомарного кислорода. И озон, и атомарный кислород являются

образец внутри очистителя) в течение 20 мин. Известно, что поглощение УФ-света с длиной волны 184,9 нм молекулами кислорода способствует образованию озона, а свет с длиной волны 253,7 нм приводит к разложению озона с образованием атомарного кислорода. И озон, и атомарный кислород

являются сильными окислителями. Наши предыдущие исследования позволили сделать вывод, что такая обработка приводит к образованию тонкой оксидной оболочки (преимущественно из оксида Cu(II)) вокруг പ്രേസം (преимущественно из оксида Cu(II)) вокруг одржа обороднослите образованием обородности образованием обородности образованием обородности образованием обородности образованием обородности образованием обородности образованием обра

Послесобработк исобравацы карремилиерстехджекуслорамахизитовалисрауненоврим методом.
фотоэбектра нНаб илекараекония (каррементим в навизрофом рискосительной опректоры (каррементим в навизрофом в навизрофом рискосительной опректоры (каррементим в навизрофом рискосительной опректоры (каррементим в навизрофом рискосительной опректоры (каррементим в навизрофом разунации поэтом в навизрофом разунации (каррементим в навизрофом разунации (карремента в навизрофом разуната в навизрофом разуна

RE = (100% Ts) (100% Tq), (1)

где Тs — коэффициент пропускания (в %) подложки с нанесенными НЧ, Тq — коэффициент пропускания голой квдянья кой подложки с нанесенными НЧ, Тq — коэффициент пропускания голой квдянья кой подложкий подложкий подложкий подложкий подложкий подложкий подложкий подложкий подложкий подложения пропускания (в %) но подлежение подражение подражения подражение подражени

Длина волны оказалась ниже 1 нм.

3. Результаты и обсуждение 3.

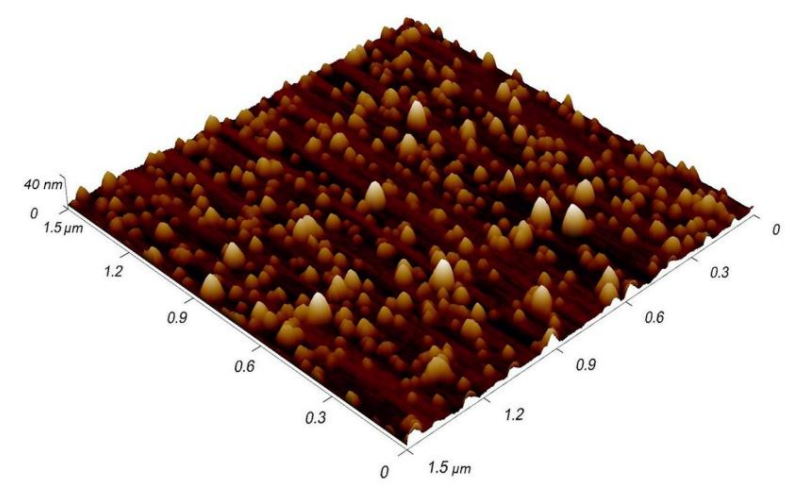
Результаты и обсуждение

3.1. АСМ-характеристика осажденных НЧ 3.1. АСМ-

характеристика осажденных НЧ.

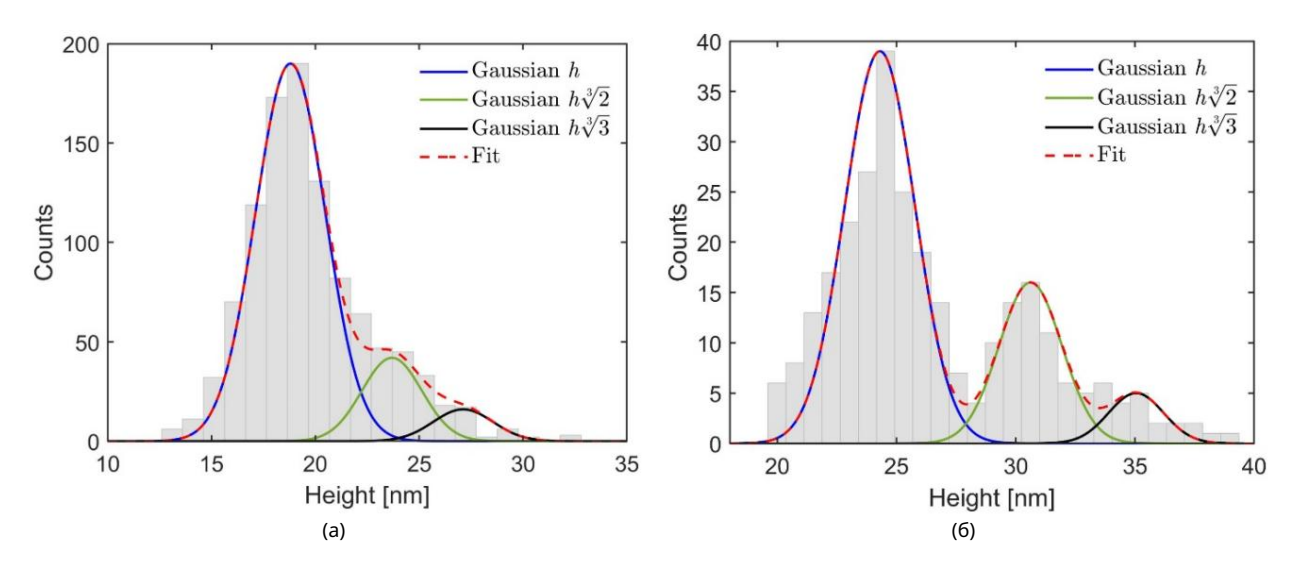
Как установлено ранее, НЧ, образуемые MaSCA, могут нести различные (одно-, двух-, трех- или

выше) заряды электронов [24]. В пучке преобладают однозарядные НЧ, но небольшие заряды электронов [24]. В пучке преобладают однозарядные НЧ, но небольшие доли также присутствуют многозарядные кластеры. Следовательно, после фильтрации на определенном уровне присутствуют и многозарядные кластеры. Поэтому после фильтрации при определенном потенциале потенциал, приложенный к электродам ЕQMS, НЧ с одинаковым соотношением м/q, но разный массой, приложенным к электродам EQMS, НЧ с одинаковым соотношением м/q, но разными массами (м/1q, 2м/2q, (m/1q, 2m/2q, 3m/3q и т. д.), т. е. разных размеров, находятся на подложке. На подложке находятся типичные АСМ Зm/3q и т. д.), т. е. разных размеров. Типичное изображение топографии АСМ. Изображение топографии отфильтрованных НЧ показано на рисунке 1.



На рисунке 2 можно увидеть распределение размеров для двух разных используемых фильтровальных напряжений. в этих экспериментах. Наиболее распространенные размеры соответствуют однозарядным НЧ, а Также присутствуют гауссовы распределения двух- и трехзарядных НЧ. Они соответствуют до 32h, 33h, где h — высота наиболее распространенных однозарядных НЧ. Из

Прил. Нано 2022, 3



РВЖИНЕКА ВЫСКТЫ К. Р. С. Т. ВЕКОВ I ГОЛУЧЕННЫЕ СПОМОЩЬЮ ЛЬТОРДИИ ФЛИГО ВЫСОТЫ К. Р. ВЫСКТЫ К. Р. ВЫСКТЫ К. Р. С. Т. ВЕКОВ I ГОЛУЧЕННЫЕ В СТОМОВ ВЫСОТЫ В СООТВЕТСТВУЮЩЕЙ ОДНОЗАРЯДНОЙ ГОЛ ТЕНСИКИЙ ТОТЕНЦИАЛАХ. СМК. Гауссовы распределения для наиболее распространенной высоты высоты

# 3:2: Эволюция рентгеновских фотоэлектронов и оже-спектров во времени

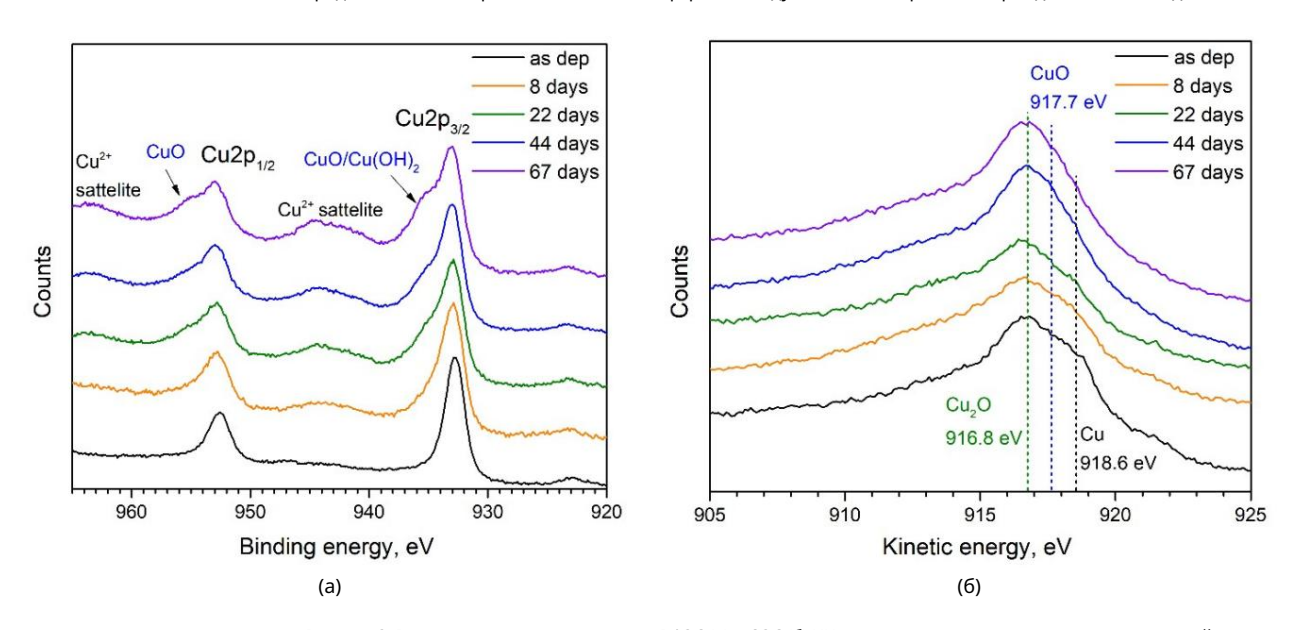


РИСУНОК 3. ВРЕМЕННЯЯ ВООЛЮДИЛЕСТВОВ РФЭССАН (А) ТСОЗНОМ МЕДИ, ХРИНТИВ ВИХСОВИЗХ ОКВУЖЛОВИЙ СОСТОВНЫМ СОСТОВНИЯМ СИЗДАТ СОЗНОВ В ВОВСИВНИЕМ СИЗДАТ В ВЕММЕННЯЯ В ВОВСИВИЯ ОКСИВНИЯМ СИЗДАТ В СОСТОЯНИЯМИ СИЗДАТ В ТАКЖЕ ПОЛОСАМИ, СВЯЗАННЫМИ С НИМИ. СОСТОЯНИЯМИ СИЗДАТ В ТАКЖЕ ПОЛОСАМИ, СВЯЗАННЫМИ С НИМИ. С СОСТОЯНИЯМИ СИЗДАТ В ТАКЖЕ ПОЛОСАМИ, СВЯЗАННЫМИ С НИМИ. С СОСТОЯНИЯМИ СИЗДАТ В ТАКЖЕ ПОЛОСАМИ, СВЯЗАННЫМИ С НИМИ. С СОСТОЯНИЯМИ СИЗДАТ В ТАКЖЕ ПОЛОСАМИ, СВЯЗАННЫМИ С НИМИ. СОСТОЯНИЯМИ СИЗДАТ В ТОКСИВ В Т

Для только что осажденных НЧ (рис. За) два характерных пика при 932,6 эВ и 952,4 эВ относятся к состояниям Cu2p3/2 и Cu2p1/2 соответственно. Пик Cu2p3/2 можно использовать для идентификации металлической меди. Однако Cu2O имеет почти такую же энергию связи 932,4 эВ [26,27], поэтому невозможно определить вклады металлических Cu и Cu(I)

Прил. Нано 2022. 3

Для осажденных НЧ (рис. 3а) два характерных пика при 932,6 эВ и 952,4 эВ. отнесены к состояниям Cu2p3/2 и Cu2p1/2 соответственно. Можно использовать пик Cu2p3/2. для идентификации металлической меди. Однако Cu2O имеет почти такую же энергию связи. 932,4 эВ [26,27], таким образом, невозможно разрешить вклады металлических Си и Оксид Cu(I) в РФЭС-спектрах. Однако из AES, представленного на рисунке 3b, можно см. пик при 916,8 эВ, указывающий на присутствие оксида Cu(I), и плечо около 918,6 эВ, что представляет собой кинетическую энергию, соответствующую металлической Си [26]. Таким образом, мы можем сделать вывод о некоторое окисление НЧ меди при кратковременном (около 20-30 мин) воздействии окружающего воздуха который необходим для переноса образца из камеры осаждения в камеру XPS/AES. Выдерживание образца в окружающей атмосфере в течение более длительного времени приводит к эволюции спектров, которые можно увидеть на рис. 3. Из литературы известно [27,28], что появление плеч при 934,7 и 954,5 эВ в РФЭС-спектрах можно отнести к дигидроксид меди, Cu(OH)2 и оксид Cu(II) соответственно. Слабые спутниковые диапазоны Для Cu(II) также характерны Cu2+ около 941 и 963 эВ, интенсивность которых увеличивается со временем. образование оксидов [27]. Таким образом, наблюдая за изменениями, представленными на рисунке За, можно сделать вывод о постепенном окислении НЧ в условиях окружающей среды в масштабах времени, указанных в панель. Этот вывод также подтверждается Оже-спектрами (рис. 3б), показывающими постепенное увеличение сигнала оксида Cu(II) и устранение пика Cu. Окисление идет при расход металлической меди и увеличение толщины оксидной оболочки постепенно экранируют ядро окончательно отключает регистрацию Cu, потому что глубина анализа для XPS/AES всего около 2 нм.

106

Спектры XPS и AES озонированных НЧ меди, представленные на рисунке 4 , выглядят совсем по-разному. от показанных на рисунке 3 для необработанных. Во время УФ-озоновой обработки смесь атомарного кислорода и озона приводит к интенсивному окислению НЧ меди. В наших предыдущих исследованиях было обнаружено образование оболочки толщиной около 2–3 нм с преобладанием вклад CuO [20]. Это число хорошо согласуется с экспериментами по УФ-озону. обработка тонких пленок меди, при которой толщина оксида составила ок. 2,5 нм в течение 20 мин. озонирования [23]. Преобладающий рост CuO также характерен для текущего эксперимента, поскольку

прил. Нано 2022, 3, НА ЭКСПЕРТН**УЛЕРЕМЕТНИЯ** СПЕКТРОВ, представленных на рисунке 4а, которые показывают сильные пики, относящиеся к CuO.6

и спутники Cu2+ . Однако спектры AES на рисунке 4b также указывают на некоторый вклад

Си2О. К сожалению, количественное соотношение оксидов Cu(II)/Cu(I) дать вряд ли возможно.

во всей больно на вовины ниже ок. 2-нм под поверхностью. Анализируя спектры, полученные в разное состав раковины ниже ок. 2-нм под поверхностью. Анализируя спектры, полученные в разное состав раковины ниже ок. 2-нм под поверхностью. Анализируя спектры, полученные в разное время и представленные на обеих панелях рисунка 4, можно заключить, что существенных разное извемя и представленные на обеих панелях рисунка 4, можно заключить, что существенных разное извемя и представленных разнов полученные при разное извемя на полученные при разное извемя на полученные при заключить, что существенных разнов полученные при разное извемя на полученные при заключить, что существенных разнов полученные при разнов полученные при заключить, что существенных разнов полученные при разнов полученные полученные при разнов полученные при разнов полученные п

Таким образом в как для уческим. металлическим. остается металлическим, как это следует из оптических измерений, представленных в следующем разделе.

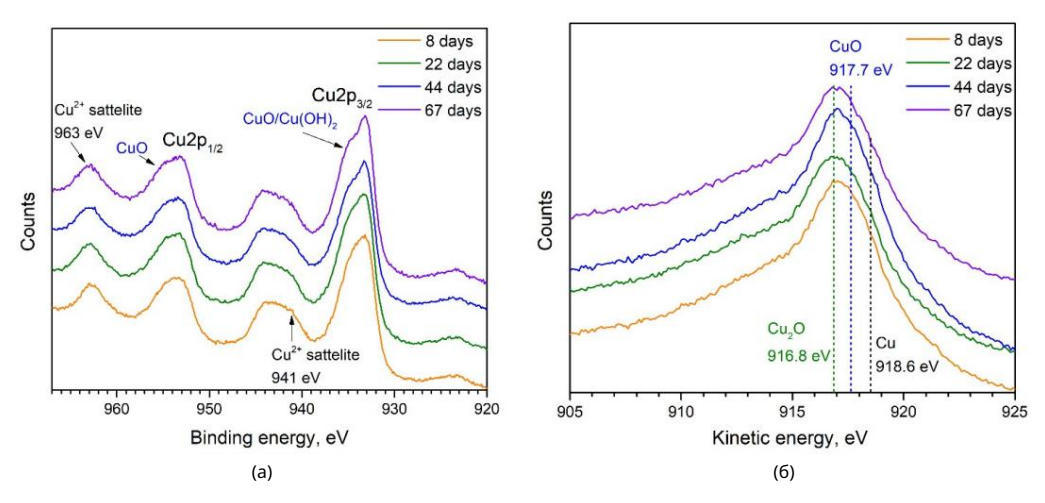


Рисунок 4. Временная эволюция спектров РФЭС (а) и ОЭС (б) обработанных УФ-озоном наночастиц меди, которые затем Рис. 4. Временная эволюция спектров РФЭС (а) и ОЭС (б) обработанных УФ-озоном НЧ меди, которые затем выдерживаются в условиях окружающей среды. Обозначения различных характеристических ликов такие же, как на хранится № Субовнах окружающей среды. Обозначения различных характеристических пиков такие же, как на рисунке 3.

# 3.3. Спектры вымирания НЧ

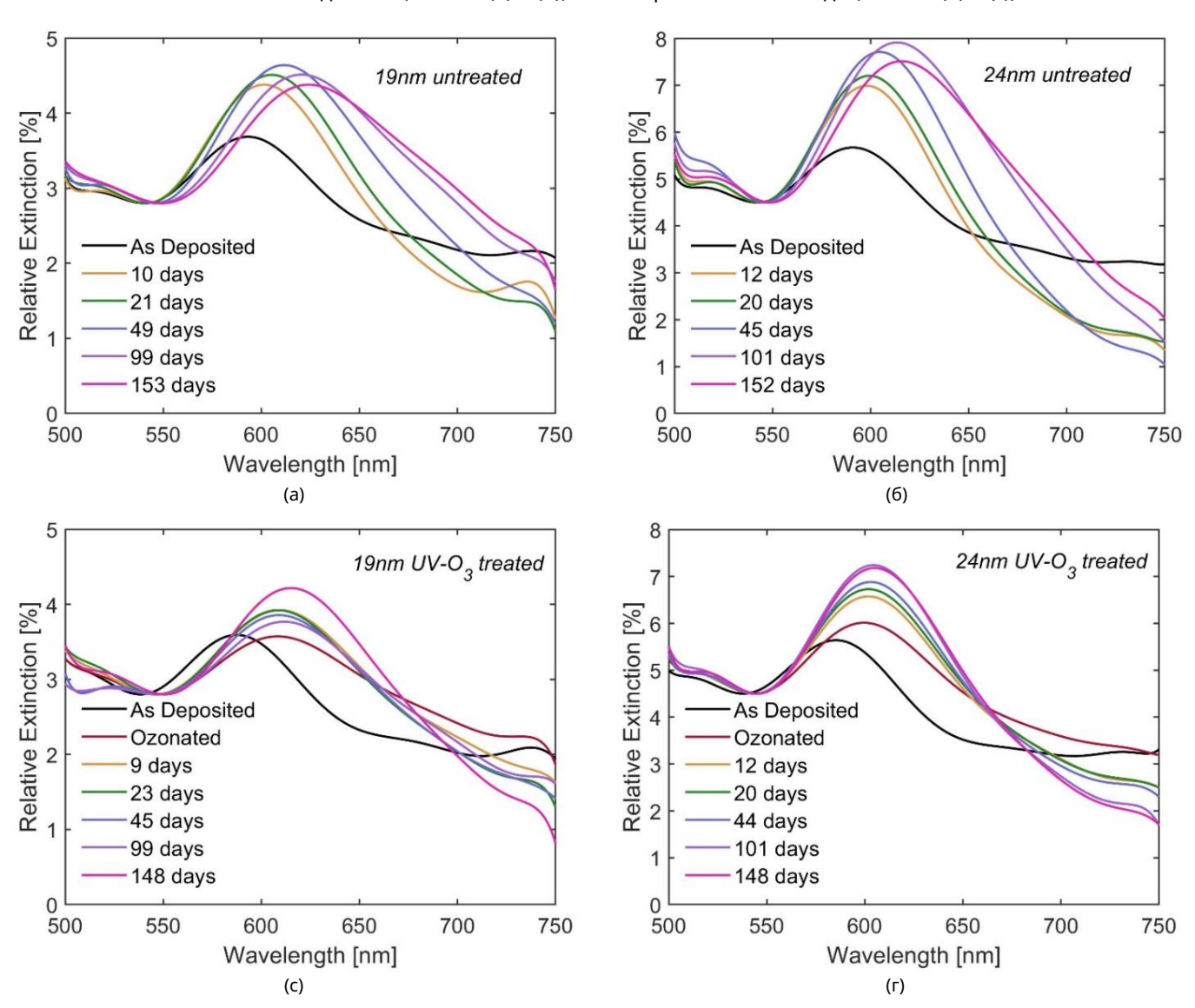
Изучена временная эволюция плазмонных свойств НЧ Си, подвергнутых воздействию окружающего воздуха, с учетом длины волны плазмонного резонанса, экстраполированной из спектров экстинкции. Для этого на рисунке 5 представлены спектры, измеренные для каждой серии образцов через несколько выбранных дней после осаждения. Изменение плазмонных полос.

Прил. Нано 2022. 3

### 3.3. Спектры вымирания НЧ

Представлена временная эволюция плазмонных свойств НЧ Си, подвергнутых воздействию окружающего воздуха. изучено с учетом длины волны плазмонного резонанса, экстраполированной из угасания спектры. С этой целью спектры, измеренные для каждого набора образцов в течение нескольких выбранных дней. Прил. Нано 2022, 3, НА ЭКСПЕРТНУЮ РЕЦЕНЗИВСЛЕ осаждения представлены на рисунке 5. Изменение плазмонных полос необработанной Си Видны НЧ (панели (а) и (б)) и озонированные НЧ меди (панели (в) и (г)).

107

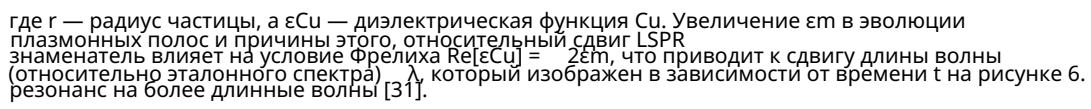


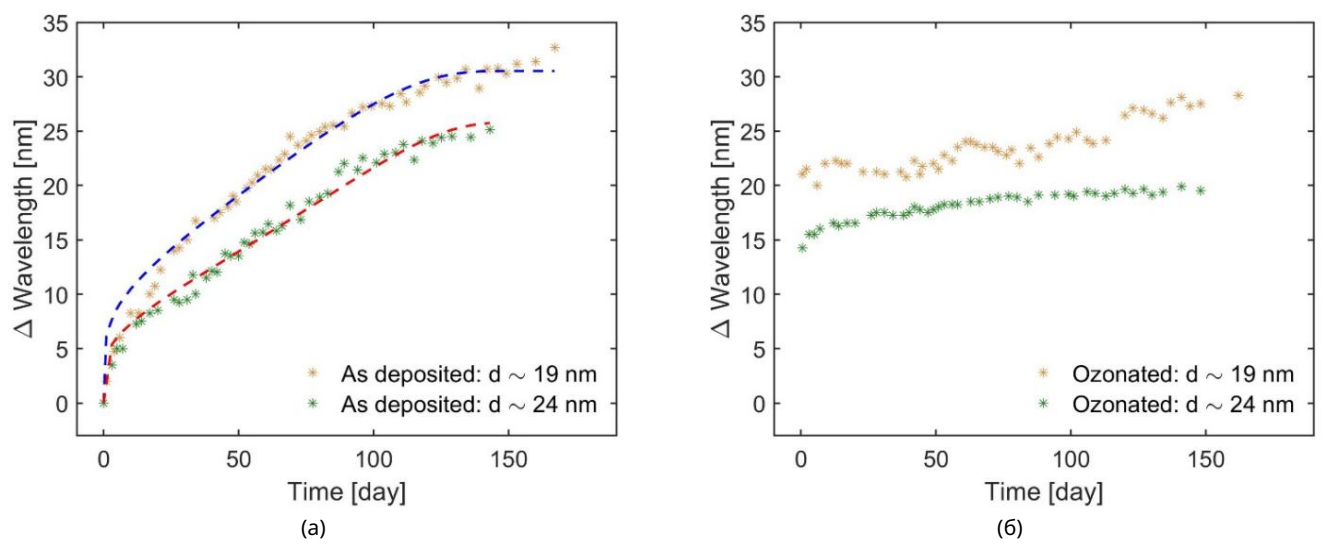
Аргильной деличивается. Для Аргильной деличивается делич

Постепенное красное смещение резонансной длины волны, представленное на рисунке 6а, хорошо коррелирует с постепенным окислением НЧ в окружающем воздухе, наблюдаемым по спектрам XPS/AES.

Machine Translated by Google постоянная εт [29]. Однако после окисления вклад воздуха становится незначительным, а вклад оксидов, имеющих высокие ε (7,6 для Cu2O и 18 для CuO [30]), преобладает. εm существенно возрастает, что приводит к изменению условий резонанса согласно аналитическому выражению для сечения экстинкции [31]:

108 Прил. Нано 2022, 3 (2)





Pueyhok &: ୱିନ୍ଧଜ୍ଞ୍ୱଳମୟକ ଞ୍ଚଳ୍ଫନ୍ଟେମ୍ବ୍ୟୁନ୍ଦ୍ରପ୍ରୟୟ ବ୍ୟୁକ୍ତ ଅନ୍ତର୍ଜ୍ୟ ବ୍ୟୁକ୍ତ ଅନ୍ତର୍ଜ୍ୟ ବ୍ୟୁକ୍ତ ଅନ୍ତର୍ଜ୍ୟ ବ୍ୟ НЧ меди. Пунктирные линии на (а) показывают соответствие модели, представленной в тексте. Линейные НЧ меди. Пунктирные линии на (а) показывают соответствие модели, представленной в тексте. Линейный коэффициент регрессии R2 рассчитан как 0,97 и 0,98 для НЧ размером 19 и 24 нм соответственно. коэффициент регрессии R2 рассчитан как 0,97 и 0,98 для НЧ размером 19 и 24 нм соответственно.

PRIVAREAG AGRARALACION CON LAMARA FARANCA NA ARABERTA CARRANA RABALACIO PARA CARRA C  $\Delta e_{A} > 0$ среды, окружающей НЧ, єт. Перед окислением мы должны взвесить вклад воздуха с є 1 и кварцевой подложки с є =  $3.8\,\mathrm{s}^{-2}$  в образование так называемого 

случаями, оксид металла подчири 
$$\frac{2\pi R^2}{\lambda}$$
 свест =  $\frac{1}{\lambda} \frac{100 \, \text{ГеСи}}{(\text{RA}[\text{ECu}] + 2 \, \text{cm})^2 + \text{Im}[\text{ECu}]^2}$ , (2)

ҒДЕ ÜC—РӘВИЖИЧЕЕТИЯНТ७ ЛЕБИНА, ПДИРАВКОРОУРБОЕТ ӨЖИДЫ ПРЕКРУЕДВЕНЕНИЯЛЕПОВТИ прекращается при комнатной температуре, знаменатель влияет на условние Фрелиха Refecul = розпорциональная <del>সংব</del>্র<del>াপার প্রেপ্সার বিজ্ঞানার প্রেপ্সার মের মার্ক্ত এই বিষয়ের স্বর্মার স্থান বিষয়ের স্বর্মার স্বর্মার স্থান বিষয়ের স্থান বিষয়ের স্বর্মার স</del> зависимости от времени, представленной на рисунке ба, мы использовали разработанную модель по направлению к поверхности образуется оксидный слой с образованием Cu2O. Объединение уравнений (3) и <sup>ба. ра</sup>УСНЯ ТНЧ, СВБВВВ ВВК ФИНКЦХУРФ СОЗВИНЫ, СВБРЕК КОБСЕМСТВОЛЬВЕНЯН СРВСТВЕНИВ ВВСЕСТВЕНИЯ. На основании данных РФЭС и АЭС предполагается, что быстро образующаяся доксидная оболочка, преимущественно (3) состоит из CuO, в значительной степени бЖЖДУрует возможность последующего окисления в условиях окружающей среды, которое обычно происходит через образование другого оксида Cu2O. где λmax — максимальный наблюдаемый сдвиг, а l — характерная длина затухания Следовательно, небольшое увеличение Δ λ, видимое на рисунке бb, можно объяснить значительным электромагнитным полем, генерируемым при плазмонном резонансе (10 нм в наших расчетах). К эсзамедлился процесс окисления, т. е. за счет лишь очень небольшого увеличения толщины оболочки. Для оценки толщины оболочки использовалась классическая теория окисления металлов, разработанная Кабрерой Мотта [33] . Согласно этой теории, подкрепленной многочисленными экспериментальными случаях оксид металла подчиняется логарифмическому закону роста во времени.

$$A = \frac{1}{A \ln T}$$
 (4)

Прид. Нано 2022. 3

где dc — критическая толщина, при которой рост оксида прекращается или почти прекращается при комнатной температуре (хорошее приближение — 10 нм [33]), а A — константа, пропорциональная энергии образования катиона Cu и энергии активации его диффузии через уже по направлению к поверхности образуется оксидный слой с образованием Cu2O. Объединение уравнений (3) и (4) обеспечивает хорошее согласие аппроксимации с экспериментальными данными, как показано на рисунке ба.

109

Для НЧ, обработанных УФ-озоном, мы не можем применить тот же модельный подход. На основании данных РФЭС и АЭС предполагается, что быстро образующаяся оксидная оболочка, состоящая преимущественно из CuO, в значительной степени блокирует возможность последующего окисления в условиях окружающей среды, которое обычно происходит через образование другого оксида Cu2O. Следовательно, небольшое увеличение 

\[ \lambda \], наблюдаемое на рис. 66, можно объяснить значительно замедленным процессом окисления, т. е. лишь очень небольшим увеличением толщины оболочки.

Таким образом, полученные результаты свидетельствуют об эволюции плазмонных свойств необработанных НЧ меди в течение примерно 5 месяцев, что указывает как на постепенное изменение интенсивности полосы, так и на непрерывное красное смещение резонансной длины волны. С другой стороны, первоначальное образование оксидной фазы, вызванное обработкой УФ-озоном, эффективно улучшает стабильность резонансной длины волны в течение как минимум 5 месяцев.

### 4. Выводы

В течение примерно 5 месяцев систематически изучалась эволюция химического состава и плазмонных свойств НЧ меди, полученных методом газофазной кластерной агрегации и нанесенных на подложки . Установлено, что НЧ, хранящиеся в атмосферных условиях при комнатной температуре, подвергаются постепенному окислению с преимущественным образованием оксида Cu(I). Со временем признаки присутствия оксида Cu(II) и дигидроксида меди наблюдаются также в спектрах РФЭС и ОЭС, что позволяет предположить превращение оксида Cu(I) в Cu(II). Эта динамика окисления хорошо согласуется с литературными данными. Окисление влияет на плазмонные свойства таким образом, что резонансная частота постепенно смещается в красную сторону, а интенсивность увеличивается, достигает насыщения, а затем начинает слегка уменьшаться. Обнаружено, что эволюция красного смещения хорошо соответствует модели, учитывающей рост оксидной фазы в соответствии с теорией окисления металлов, предложенной Кабрерой и Моттом [33]. Обнаружено, что плазмонные полосы все еще остаются сильными через 150–160 дней после осаждения для обоих средних размеров частиц 19 и 24 нм, использованных в экспериментах, что указывает на то, что металлические ядра сохраняются, несмотря на окисление.

Обработка НЧ УФ-озоном непосредственно после осаждения приводит к образованию оксидных оболочек с преобладающим вкладом оксида Cu(II). Эти оболочки защищают НЧ от последующего окисления при хранении в окружающей атмосфере.

Плазмонные свойства гораздо более стабильны во времени по сравнению с необработанными НЧ. Интенсивность полосы увеличивается, достигая насыщения примерно через 20 минут. 40–60 дней. В дальнейшем наблюдаются небольшие колебания без существенного снижения. Резонансная длина волны имеет очень небольшое (несколько нм) красное смещение. Таким образом, обработка УФ-озоном может использоваться как простой метод стабилизации и сохранения плазмонных свойств наночастиц меди в течение нескольких месяцев, что облегчает коммерческое применение для плазмонного обнаружения и зондирован Тем не менее, необходимы дополнительные исследования для тестирования наночастиц меди, обработанных УФ-озоном, в конкретных методах, основанных на плазмонах, таких как рамановская спектроскопия с усилением поверхности или фотогальваника.

Вклад автора: Концептуализация, ВНП; методология, ФЗ и ВНП; расследование, ФЗ и АМ; написание — подготовка оригинальных проектов, ФЗ и ВНП; написание-рецензирование и редактирование ФЗ, АМ и ВНП; визуализация, ФЗ и ВНП; руководство, ВНП Все авторы прочитали и согласились с опубликованной версией рукописи.

Финансирование: Данное исследование не получило внешнего финансирования.

Конфликты интересов: Авторы заявляют об отсутствии конфликта интересов.

Прил. Нано 2022, 3

### Рекомендации

- 1. Мюррей, Вашингтон; Барнс, У.Л. Плазмонные материалы. Адв. Матер. 2007, 19, 3771–3782. [Перекрестная ссылка] 2. Стратакис, Э.; Кимакис, Э. Плазмонные органические фотоэлектрические устройства на основе наночастиц. Матер. Сегодня 2013 г., 16, 133–146. [Перекрестная ссылка]
- 3. Лангер Дж.; Новиков С.М.; Лиз-Марзан, Л.М. Зондирование с использованием плазмонных наноструктур и наночастиц. Нанотехнологии 2015, 26. 322001. [CrossRef]
- 4. Амендола, В.; Пилот Р.; Фраскони, М.; Мараго, ОМ; Яти, М.А. Поверхностный плазмонный резонанс в наночастицах золота: обзор

Дж. Физ. Конденсируется. Материя 2017, 29, 203002. [CrossRef]

- 5. Рысенга, М.; Кобли, СМ; Цзэн, Дж.; Ли, В.; Моран, Швейцария; Чжан, К.; Цинь, Д.; Ся, Ю. Управление синтезом и сборкой наноструктур серебра для плазмонных применений. хим. Ред. 2011, 111, 3669–3712. [Перекрестная ссылка]
- 6. Цао, В.; Эльсаед-Али, Х.Э. Стабильность наночастиц серебра, полученных методом электронно-лучевой литографии. Матер. Летт. 2009, 63, 2263–2266.
- 7. Скудери, М.; Эспозито, М.; Тодиско, Ф.; Симеоне, Д.; Тарантини, И.; Де Марко, Л.; Де Джорджи, М.; Никотра, Г.; Карбоне, Л.; Санвитто, Д.; и другие. Наномасштабное исследование процесса потускнения наночастиц серебра, полученных с помощью электронно-лучевой литографии, для плазмонных применений. Дж. Физ. хим. С 2016, 120, 24314–24323. [Перекрестная ссылка]
- 8. Чан, Г.Х.; Чжао, Дж.; Хикс, Э.М.; Шац, ГК; Ван Дуйн, Р.П. Плазмонические свойства наночастиц меди, изготовленных Наносферная литография. Нано Летт. 2007, 7, 1947–1952. [Перекрестная ссылка]
- 9. Стебунов Ю.В.; Якубовский, Д.И.; Федянин, Д.Ю.; Арсенин А.В.; Волков В.С. Повышенная чувствительность плазмонных биосенсоров на основе меди . Ленгмюр 2018, 34, 4681–4687. [Перекрестная ссылка]
- 10. Гаттинони, К.; Михаэлидис, А. Атомистические детали поверхности оксидов и поверхностного окисления: пример меди и ее оксидов. Серфинг. наук. Республика 2015, 70, 424–447. [Перекрестная ссылка]
- 11. Ким, Дж. Х.; Эрман, С.Х.; Гермер Т.А. Влияние оксидного покрытия частиц на рассеяние света субмикронными металлическими частицами на Кремниевые пластины. Прил. Физ. Летт. 2004, 84, 1278–1280. [Перекрестная ссылка]
- 12. Бойд, Р.Д.; Пильч, И.; Гарбрехт, М.; Хальварссон, М.; Хельмерссон, У. Слой двойной оксидной оболочки, сформированный на металлической наночастице, как показано с помощью трансмиссионной электронной микроскопии с коррекцией аберраций (сканирующей). Матер. Рез. Экспресс 2014, 1, 025016. [CrossRef]
- 13. Платцман И.; Бренер, Р.; Хайк, Х.; Танненбаум, Р. Окисление тонких пленок поликристаллической меди в условиях окружающей среды. Дж. Физ. хим. С 2008, 112, 1101–1108. [Перекрестная ссылка]
- 14. Леон, JJD; Фряуф, Д.М.; Кормиа, Род-Айленд; Чжан, МХМ; Сэмюэлс, К.; Уильямс, РС; Кобаяши Н. П. Рефлектометрия-эллипсометрия позволяет выявить толщину, скорость роста и фазовый состав при окислении меди. Приложение ACS. Матер. Интерфейсы 2016, 8, 22337–22344.
- 15. Де Хир В.А. Физика простых металлических кластеров: экспериментальные аспекты и простые модели. Преподобный Мод. Физ. 1993, 65, 611–676.
- 16. Биннс К. Нанокластеры, осажденные на поверхности. Серфинг. наук. Республика 2001, 44, 1–49. [Перекрестная ссылка]
- 17. Попок В.Н.; Килиан О. Газофазный синтез функциональных наноматериалов. Прил. Нано 2020, 1, 25–58. [Перекрестная ссылка]
- 18. Новиков С.М.; Попок В.Н.; Евлюхин А.Б.; Ханиф, М.; Морген, П.; Фьютовски Дж.; Берманн, Дж.; Рубан, Х.-Г.; Божевольный, С.И.
  Высокостабильные монокристаллические кластеры серебра для плазмонных применений. Ленгмюр 2017, 33, 6062–6070. [Перекрестная ссылка]
- 19. Ларсен М. Стабильность локализованного поверхностного плазмонного резонанса металлических наночастиц. Магистерская диссертация, Ольборгский университет, Ольборг. Дания. 2019 г.
- 20. Попок В.Н.; Новиков С.М.; Лебединский Ю.Ю.; Маркеев А.М.; Андреев А.А.; Транкин, И.Н.; Арсенин А.В.; Волков В.С. Газоагрегированные наночастицы меди с долговременной стабильностью плазмонного резонанса. Плазмоника 2021, 16, 333–340. [Перекрестная ссылка]
- 21. Ким И.; Ким, Ю.; Ву, К.; Рю, ЭХ; Йон, Кентукки; Цао, Г.; Мун, Дж. Синтез устойчивых к окислению медных наночастиц ядро-оболочка. PCK Адв. 2013, 3, 15169–15177. [Перекрестная ссылка]
- 22. Бок, С.; Лим, Г.Х.; Лим, Б. Обработка УФ/озоном для улучшения адгезии интерфейса медь/эпоксидная смола. Дж. Индийский инж. хим. 2017, 46, 199-202. [Перекрестная ссылка]
- 23. Соловей В.Р.; Якубовский, Д.И.; Ермолаев Г.А.; Лебединский Ю.Ю.; Маркеев А.М.; Воронов А.А.; Замбони, Ф.; Попок В.Н.; Арсенин А.В.; Волков В.С.; и другие. УФ/озоновая обработка и медная плазмоника на открытом воздухе. Дж. Физ. Конф. Сер. 2021, 2015, 012148.
- 24. Попок В.Н.; Гуревич Л. Зарядовые состояния наночастиц серебра выбранного размера, полученных магнетронным распылением. Дж. Нанопарт. Pes. 2019. 21. 171. [CrossRef]
- 25. Хартманн, Х.; Попок В.Н.; Барк, И.; Фон Эйнхаузен, В.; Мейвес-Броер, К.-Х. Конструкция и возможности экспериментальной установки на основе магнетронного распыления для формирования и осаждения металлических кластеров выбранного размера на сверхчистые поверхности. Преподобный учёный.

  Инструмент. 2012, 83, 073304. [CrossRef]
- 26. Поулстон, С.; Парлетт, премьер-министр; Стоун, П.; Боукер, М. Поверхностное окисление и восстановление CuO и Cu2O, изученное с помощью XPS и XAES. Серфинг. Интерфейс Анал. 1996, 24, 811–820. [Перекрестная ссылка]
- 27. Бизингер, МС; Лау, LWM; Герсон, Арканзас; Смарт, RSC. Определение химического состояния поверхности в XPS-анализе переходных металлов, оксидов и гидроксидов первого ряда: Sc, Ti, V, Cu и Zn. Прил. Серфинг. наук. 2010, 257, 887–898. [Перекрестная ссылка]
- 28. Сусман, доктор медицины; Фельдман, Ю.; Бендиков Т.А.; Васкевич А.; Рубинштейн, И. Исследование твердофазного окисления и образования пустот Киркендалла в медных наночастицах с помощью плазмонной спектроскопии в реальном времени. Наномасштаб 2017. 9. 12573–12589. [Перекрестная ссылка]
- 29. Карри, А.; Нуш, Г.; Чилкоти, А.; Вакс, А. Влияние подложки на зависимость показателя преломления плазмонного резонанса для отдельных наночастиц серебра, наблюдаемую с помощью темнопольной микроспектроскопии. Опция Экспресс 2005, 13, 2668. [CrossRef]

Прил. Нано 2022, 3

- 30. Хейнс, В.М.; Лиде, ДР; Бруно, Т.Дж. (ред.) Справочник СRC по химии и физике; CRC Press: Бока-Ратон, Флорида, США, 2013.
- 31. Майер С.А. Локализованные поверхностные плазмоны. В плазмонике: основы и приложения; Спрингер: Нью-Йорк, штат Нью-Йорк, США, 2007 г.; стр. 53-64. [Перекрестная ссылка]
- 32. Малинский, доктор медицинских наук; Келли, КЛ; Шац, ГК; Ван Дуйн, Зависимость длины цепи RP и способности восприятия локализованного поверхностного плазмонного резонанса наночастиц серебра, химически модифицированных самоорганизующимися монослоями алкантиола. Варенье. хим. Соц. 2001, 123, 1471–1482. [Перекрестная ссылка]
- 33. Кабрера, Н.; Мотт Н. Ф. Теория окисления металлов. Реп. прог. Физ. 1949, 12, 163–184. [Перекрестная ссылка]